



第四讲：图像的正交变换

任课教师：寇旗旗

计算机科学与技术学院



第四讲 图像的正交变换



问题的提出:

人类视觉所感受到的是在空间域和时间域的信号。但是，往往许多问题在频域中讨论时，有其非常方便分析的一面。



4. 1 离散傅里叶变换

4. 2 离散余弦变换

4. 3 K-L变换

4. 4 Radon变换

4. 5 小波变换



4.1 离散傅里叶变换



4.1.1 一维离散傅里叶变换

4.1.2 一维快速傅里叶变换

4.1.3 二维离散傅里叶变换

4.1.4 二维离散傅里叶变换的性质

4.1.5 离散傅里叶变换在图像处理中的应用

离散傅里叶变换 (**Discrete Fourier Transform, DFT**)



4.1.1一维DFT

离散傅里叶变换

(1) 定义

对于有限长数字序列 $f(x), x = 0, 1, \dots, N-1$

■ 一维DFT定义

$$F(u) = \sum_{x=0}^{N-1} f(x) e^{-j \frac{2\pi ux}{N}} \quad u = 0, 1, 2, \dots, N-1$$

■ 一维IDFT定义 $f(x) \Leftrightarrow F(u)$

$$f(x) = \frac{1}{N} \sum_{u=0}^{N-1} F(u) e^{j \frac{2\pi ux}{N}} \quad x = 0, 1, 2, \dots, N-1$$



4.1.1一维DFT

离散傅里叶变换

(1) 定义

$$F(u) = \sum_{x=0}^{N-1} f(x) W^{ux} \quad u = 0, 1, 2, \dots, N-1$$
$$W = e^{-j\frac{2\pi}{N}}$$
$$f(x) = \frac{1}{N} \sum_{u=0}^{N-1} F(u) W^{-ux} \quad x = 0, 1, 2, \dots, N-1$$

W因子具有周期性和对称性

$$e^{j(ix)} = \cos x + j \sin x$$

$$W^{u \pm rN} = e^{-j\frac{2\pi}{N}(u \pm rN)} = e^{-j\frac{2\pi}{N}u} \times e^{\mp j2\pi r} = e^{-j\frac{2\pi}{N}u} = W^u$$

$$W^{u \pm \frac{N}{2}} = e^{-j\frac{2\pi}{N}\left(u \pm \frac{N}{2}\right)} = e^{-j\frac{2\pi}{N}u} \times e^{\mp j\pi} = -e^{-j\frac{2\pi}{N}u} = -W^u$$

合理安排重复出现的相乘运算，减少计算工作量



4.1.1一维DFT

离散傅里叶变换

(2) 实例

- 一个长为4的数字序列，求其DFT

$$F(u) = \sum_{x=0}^3 f(x) W^{ux} = f(0)W^0 + f(1)W^u + f(2)W^{2u} + f(3)W^{3u}$$

$$\begin{bmatrix} F(0) \\ F(1) \\ F(2) \\ F(3) \end{bmatrix} = \begin{bmatrix} W^0 & W^0 & W^0 & W^0 \\ W^0 & W^1 & W^2 & W^3 \\ W^0 & W^2 & W^4 & W^6 \\ W^0 & W^3 & W^6 & W^9 \end{bmatrix} \begin{bmatrix} f(0) \\ f(1) \\ f(2) \\ f(3) \end{bmatrix}$$

W的对称性:

$$W^2 = -W^0$$
$$W^3 = -W^1$$

W的周期性:

$$W^4 = W^0$$
$$W^6 = W^2$$
$$W^9 = W^1$$





4.1.1一维DFT

离散傅里叶变换

(2) 实例

$$\begin{aligned} \begin{pmatrix} F(0) \\ F(1) \\ F(2) \\ F(3) \end{pmatrix} &= \begin{pmatrix} W^0 & W^0 & W^0 & W^0 \\ W^0 & W^1 & -W^0 & -W^1 \\ W^0 & -W^0 & W^0 & -W^0 \\ W^0 & -W^1 & -W^0 & W^1 \end{pmatrix} \begin{pmatrix} f(0) \\ f(1) \\ f(2) \\ f(3) \end{pmatrix} \\ &= \begin{pmatrix} 1 & 1 & 1 & 1 \\ 1 & W^1 & -1 & -W^1 \\ 1 & -1 & 1 & -1 \\ 1 & -W^1 & -1 & W^1 \end{pmatrix} \begin{pmatrix} f(0) \\ f(1) \\ f(2) \\ f(3) \end{pmatrix} = \begin{pmatrix} f(0) + f(2) + [f(1) + f(3)] \\ f(0) - f(2) + [f(1) - f(3)]W^1 \\ f(0) + f(2) - [f(1) + f(3)] \\ f(0) - f(2) - [f(1) - f(3)]W^1 \end{pmatrix} \end{aligned}$$



4.1.2一维FFT

离散傅里叶变换

(1) 原理

$$\begin{aligned} F(u) &= \sum_{x=0}^{N-1} f(x) e^{-\frac{j2\pi ux}{N}} = \sum_{x=0}^{N-1} f(x) W_N^{ux} \\ &= \sum_{x=0}^{N/2-1} f(2x) W_N^{2ux} + \sum_{x=0}^{N/2-1} f(2x+1) W_N^{u(2x+1)} \\ &\triangleq \frac{N}{2} \sum_{x=0}^{M-1} f(2x) W_M^{ux} + \sum_{x=0}^{M-1} f(2x+1) W_M^{ux} W_N^u \\ &= F_e(u) + W_N^u F_o(u) \end{aligned}$$

$0 \leq u \leq M$

$W_{2N}^k = W_N^{k/2}$

(分成奇数项和偶数项之和)



4.1.2一维FFT

离散傅里叶变换

(1) 原理

$$F(u+M) = F_e(u+M) + W_N^{u+M} F_o(u+M)$$

$$= F_e(u) + W_N^{u+M} F_o(u)$$

周期性

$$F(u+M) = F_e(u+M) + W_N^{u+M} F_o(u+M)$$

$$= F_e(u) + W_N^{u+M} F_o(u)$$

$$M \triangleq \frac{N}{2}$$

$$\therefore F(u+M) = F_e(u) - W_N^u F_o(u)$$



4.1.2一维FFT

离散傅里叶变换

(1) 原理

- 将原函数分为奇数项和偶数项，通过不断的一个奇数一个偶数的相加（减），最终得到需要的结果
- FFT是将复杂的运算变成两个数相加（减）的简单运算的重复。

$$F(u) = F_e(u) + W_N^{u+M} F_o(u)$$

$$F(u+M) = F_e(u) - W_N^u F_o(u)$$

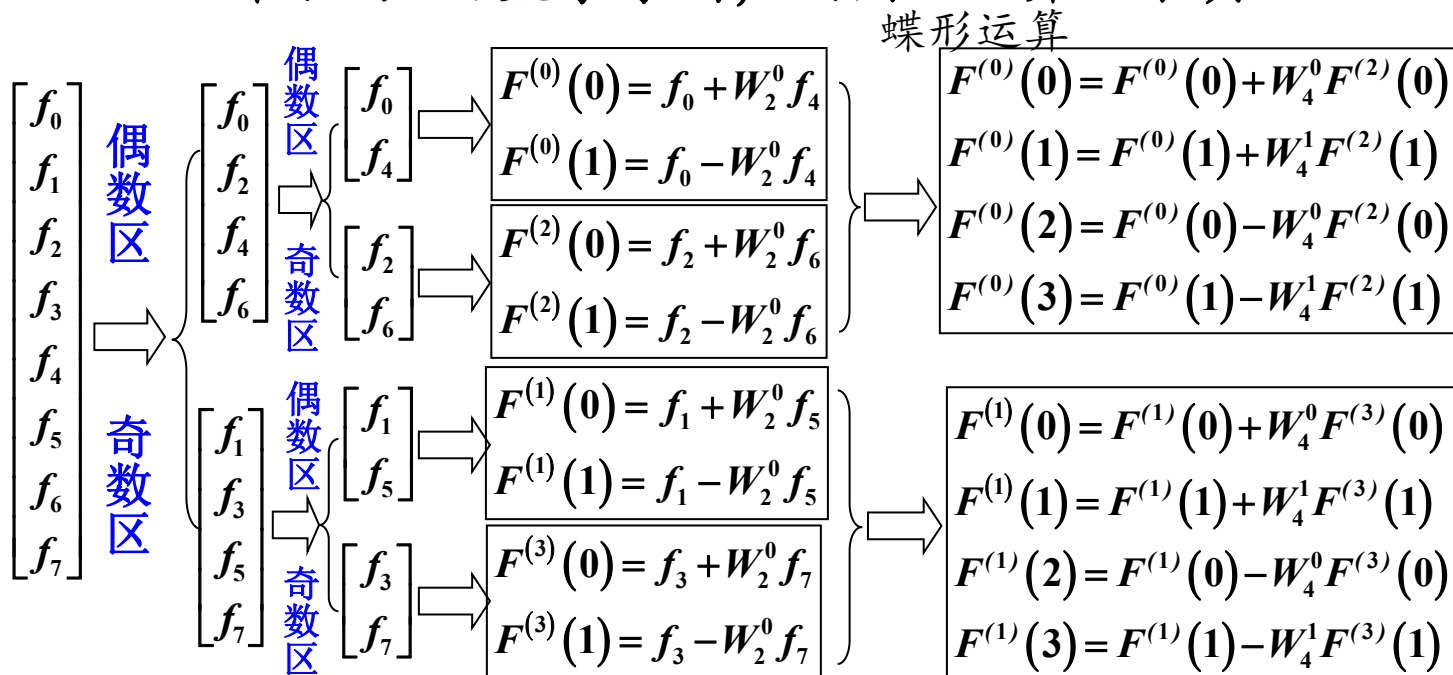


4.1.2一维FFT

离散傅里叶变换

(2) 实例

■ 一个长为8的数字序列，利用FFT算法求其DFT





4.1.2一维FFT

离散傅里叶变换

(2) 实例

■ 一个长为8的数字序列，利用FFT算法求其DFT

$$F^{(0)}(0) = F^{(0)}(0) + W_4^0 F^{(2)}(0)$$

$$F^{(0)}(1) = F^{(0)}(1) + W_4^1 F^{(2)}(1)$$

$$F^{(0)}(2) = F^{(0)}(0) - W_4^0 F^{(2)}(0)$$

$$F^{(0)}(3) = F^{(0)}(1) - W_4^1 F^{(2)}(1)$$

$$F^{(1)}(0) = F^{(1)}(0) + W_4^0 F^{(3)}(0)$$

$$F^{(1)}(1) = F^{(1)}(1) + W_4^1 F^{(3)}(1)$$

$$F^{(1)}(2) = F^{(1)}(0) - W_4^0 F^{(3)}(0)$$

$$F^{(1)}(3) = F^{(1)}(1) - W_4^1 F^{(3)}(1)$$

$$F(0) = F^{(0)}(0) + W_8^0 F^{(1)}(0)$$

$$F(1) = F^{(0)}(1) + W_8^1 F^{(1)}(1)$$

$$F(2) = F^{(0)}(2) + W_8^2 F^{(1)}(2)$$

$$F(3) = F^{(0)}(3) + W_8^3 F^{(1)}(3)$$

$$F(4) = F^{(0)}(0) - W_8^0 F^{(1)}(0)$$

$$F(5) = F^{(0)}(1) - W_8^1 F^{(1)}(1)$$

$$F(6) = F^{(0)}(2) - W_8^2 F^{(1)}(2)$$

$$F(7) = F^{(0)}(3) - W_8^3 F^{(1)}(3)$$



4.1.3 二维DFT

离散傅里叶变换

(1) 定义

■ 正变换:

$$F(u, v) = \sum_{x=0}^{M-1} \sum_{y=0}^{N-1} f(x, y) \cdot e^{-j2\pi(\frac{xu}{M} + \frac{yv}{N})}$$

■ 反变换:

$$f(x, y) \Leftrightarrow F(u, v)$$

$$f(x, y) = \frac{1}{MN} \sum_{u=0}^{M-1} \sum_{v=0}^{N-1} F(u, v) \cdot e^{j2\pi(\frac{xu}{M} + \frac{yv}{N})}$$



4.1.3 二维DFT

离散傅里叶变换

(1) 定义

$$F(u, v) = R(u, v) + jI(u, v) = |F(u, v)| e^{j\varphi(u, v)}$$

- 傅里叶谱 $|F(u, v)| = \sqrt{R^2(u, v) + I^2(u, v)}$
- 相位谱 $\varphi(u, v) = \arctan \frac{I(u, v)}{R(u, v)}$
- 功率谱 $E(u, v) = |F(u, v)|^2 = R^2(u, v) + I^2(u, v)$



4.1.3 二维DFT

离散傅里叶变换

(2) 例程

■ 函数

$Y = \text{fft}(X)$ $Y = \text{ifft}(X)$ $Y = \text{fft2}(X)$ $Y = \text{ifft2}(X)$

$Y = \text{fftshift}(X)$ $Y = \text{ifftshift}(X)$

■ 程序

```
Image=imread('desert.jpg');  
grayI=rgb2gray(Image);  
DFTI1=fft2(grayI);  
ADFTI1=abs(DFTI1);  
top=max(ADFTI1(:));  
bottom=min(ADFTI1(:));  
ADFTI1=(ADFTI1-bottom)/(top-bottom)*100;
```


4.1.3 二维DFT

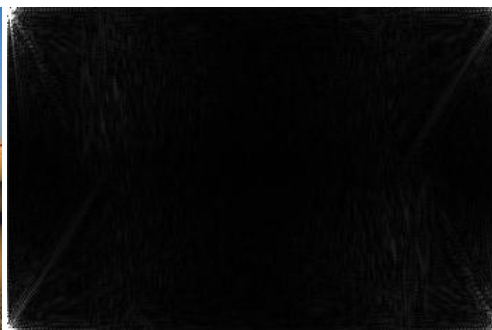
离散傅里叶变换

(2) 例程

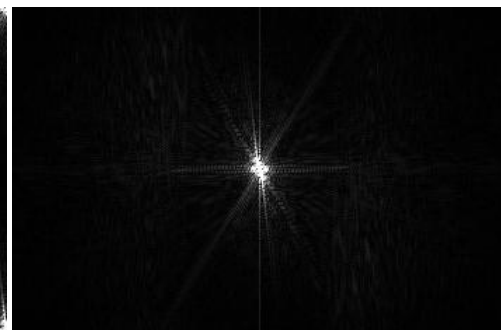
```
ADFTI2=fftshift(ADFTI1);  
subplot(131),imshow(Image),title('原图');  
subplot(132),imshow(ADFTI1),title('原频谱图');  
subplot(133),imshow(ADFTI2),title('移位频谱图');
```



原图



规格化频谱图



频谱搬移

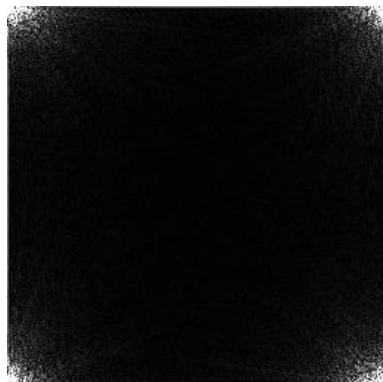
4.1.3 二维DFT

离散傅里叶变换

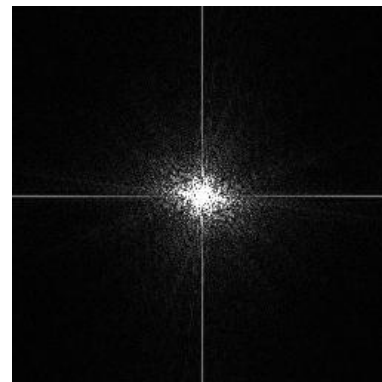
(2) 例程



原图



规格化频谱图



频谱搬移

频谱搬移图中间部分为低频部分，越靠外边频率越高。图像中的能量主要集中在低频区，高频能量很少或为零。



4.1.4 二维DFT的性质

离散傅里叶变换

主要内容：

(1) 可分性

(2) 线性和周期性

(3) 几何变换性

共轭对称性

平移特性

旋转性

比例变换特性

(4) Parseval定理

(5) 卷积定理



4.1.4 二维DFT的性质

离散傅里叶变换

(1) 可分性

■ 原理

$$\begin{aligned} F(u, v) &= \sum_{x=0}^{M-1} \sum_{y=0}^{N-1} f(x, y) e^{-j2\pi \frac{xu}{M}} e^{-j2\pi \frac{yv}{N}} \\ &= \sum_{x=0}^{M-1} \left[\sum_{y=0}^{N-1} f(x, y) e^{-j2\pi \frac{yv}{N}} \right] e^{-j2\pi \frac{xu}{M}} \\ &= \sum_{x=0}^{M-1} \left\{ \mathcal{F}_y[f(x, y)] \right\} e^{-j2\pi \frac{xu}{M}} \\ &= \mathcal{F}_x \left\{ \mathcal{F}_y[f(x, y)] \right\} \end{aligned}$$

二维DFT可用一维DFT来实现：先对每一列进行FFT，再对每一行进行FFT；或相反顺序



4.1.4 二维DFT的性质

离散傅里叶变换

(1) 可分性

■ 实例

有一幅图像 $f = \begin{bmatrix} 1 & 0 & 2 & 1 \\ 0 & 3 & 1 & 2 \\ 3 & 1 & 0 & 2 \\ 2 & 3 & 1 & 0 \end{bmatrix}$ 利用FFT算法求其DFT变换

列变换

$$\begin{array}{l} \text{第一列} \end{array} \begin{pmatrix} 1 \\ 0 \\ 3 \\ 2 \end{pmatrix} \Rightarrow \begin{pmatrix} 1 \\ 3 \end{pmatrix} \Rightarrow \begin{pmatrix} 1 + W_2^0 \times 3 = 4 \\ 1 - W_2^0 \times 3 = -2 \end{pmatrix} \Rightarrow \begin{pmatrix} 4 + W_4^0 \times 2 \\ -2 + W_4^1 \times (-2) \\ 4 - W_4^0 \times 2 \\ -2 - W_4^1 \times (-2) \end{pmatrix} = \begin{pmatrix} 6 \\ -2 + 2j \\ 2 \\ -2 - 2j \end{pmatrix}$$



4.1.4 二维DFT的性质

离散傅里叶变换

(1) 可分性

■ 实例

$$\begin{array}{l} \text{其他列} \end{array} \begin{pmatrix} 0 \\ 3 \\ 1 \\ 3 \end{pmatrix} \Rightarrow \begin{pmatrix} 7 \\ -1 \\ -5 \\ -1 \end{pmatrix} \quad \begin{pmatrix} 2 \\ 1 \\ 0 \\ 1 \end{pmatrix} \Rightarrow \begin{pmatrix} 4 \\ 2 \\ 0 \\ 2 \end{pmatrix} \quad \begin{pmatrix} 1 \\ 2 \\ 2 \\ 0 \end{pmatrix} \Rightarrow \begin{pmatrix} 5 \\ -1-2j \\ 1 \\ -1+2j \end{pmatrix}$$

$$\begin{array}{l} \text{列变换后} \end{array} \begin{pmatrix} 6 & 7 & 4 & 5 \\ -2+2j & -1 & 2 & -1-2j \\ 2 & -5 & 0 & 1 \\ -2-2j & -1 & 2 & -1+2j \end{pmatrix}$$



4.1.4 二维DFT的性质

离散傅里叶变换

(1) 可分性

■ 实例

行变换

$$\begin{pmatrix} 6 \\ 7 \\ 4 \\ 5 \end{pmatrix} \Rightarrow \begin{pmatrix} 22 \\ 2-2j \\ -2 \\ 2+2j \end{pmatrix} \quad \begin{pmatrix} -2+2j \\ -1 \\ 2 \\ -1-2j \end{pmatrix} \Rightarrow \begin{pmatrix} -2 \\ -2+2j \\ 2+4j \\ -6+2j \end{pmatrix}$$

$$\begin{pmatrix} 2 \\ -5 \\ 0 \\ 1 \end{pmatrix} \Rightarrow \begin{pmatrix} -2 \\ 2+6j \\ 6 \\ 2-6j \end{pmatrix} \quad \begin{pmatrix} -2-2j \\ -1 \\ 2 \\ -1+2j \end{pmatrix} \Rightarrow \begin{pmatrix} -2 \\ -6-2j \\ 2-4j \\ -2-2j \end{pmatrix}$$

$$\text{最终二维DFT } F(u,v) = \begin{pmatrix} 22 & 2-2j & -2 & 2+2j \\ -2 & -2+2j & 2+4j & -6+2j \\ -2 & 2+6j & 6 & 2-6j \\ -2 & -6-2j & 2-4j & -2-2j \end{pmatrix}$$



4.1.4 二维DFT的性质

离散傅里叶变换

(2) 线性和周期性

$$\mathcal{F}[a_1 f_1(x, y) + a_2 f_2(x, y)] = a_1 \mathcal{F}[f_1(x, y)] + a_2 \mathcal{F}[f_2(x, y)]$$

$$\text{若 } \mathcal{F}[f(x, y)] = F(u, v) \quad 0 \leq x, u < M, 0 \leq y, v < N$$

$$\begin{aligned} F(u, v) &= F(u + M, v) = F(u, v + N) = F(u + M, v + N) \\ f(x, y) &= f(x + M, y) = f(x, y + N) = f(x + M, y + N) \end{aligned}$$



4.1.4 二维DFT的性质

离散傅里叶变换

(3) 几何变换性

■ 共轭对称性

$$\text{若 } \mathcal{F}[f(x, y)] = F(u, v) \quad \mathcal{F}[f(-x, -y)] = F(-u, -v)$$

则 $F(u, v) = F^*(-u, -v)$ $F^*(-u, -v)$ 是**Fourier**变换的共轭函数

■ 平移特性

$$\text{若 } \mathcal{F}[f(x, y)] = F(u, v)$$

$$f(x - x_0, y - y_0) \Leftrightarrow F(u, v) e^{-j2\pi\left(\frac{x_0 u}{M} + \frac{y_0 v}{N}\right)}$$

$$f(x, y) e^{j2\pi\left(\frac{xu_0}{M} + \frac{yv_0}{N}\right)} \Leftrightarrow F(u - u_0, v - v_0)$$

频谱搬移的原理



4.1.4 二维DFT的性质

离散傅里叶变换

(3) 几何变换性

■ 旋转性

空间域函数 $f(x, y)$ 旋转某一角度，变换域此函数的DFT也旋转同样的角度。反之，也成立

$$\text{若 } f(\gamma, \theta) \Leftrightarrow F(k, \phi) \quad \text{则 } f(\gamma, \theta + \theta_0) \Leftrightarrow F(k, \phi + \theta_0)$$

■ 比例变换特性

$$\text{若 } \mathcal{F}[f(x, y)] = F(u, v) \quad \text{则 } f(ax, by) \Leftrightarrow \frac{1}{|ab|} F\left(\frac{u}{a}, \frac{v}{b}\right)$$



4.1.4 二维DFT的性质

离散傅里叶变换

(3) 几何变换性

■ 例程

对一幅图像进行几何变换，再进行DFT，验证性质

```
Image=rgb2gray(imread('block.bmp'));  
scale=imresize(Image,0.5,'bilinear');  
rotate=imrotate(Image,30,'bilinear','crop');  
tform=maketform('affine',[1 0 0;0 1 0;20 20 1]);  
trans=imtransform(Image,tform,'XData',  
    [1 size(Image,2)],'YData',[1,size(Image,1)]);  
Originaldft=abs(fftshift(fft2(Image)));  
Scaledft=abs(fftshift(fft2(scale)));  
Rotatedft=abs(fftshift(fft2(rotate)));  
Transdft=abs(fftshift(fft2(trans)));  
figure,imshow(Image),title('原图');
```

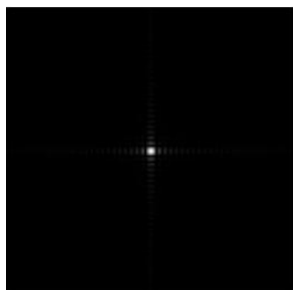
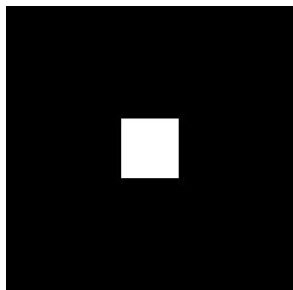
...

4.1.4 二维DFT的性质

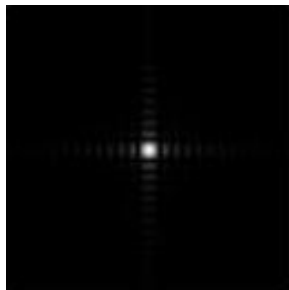
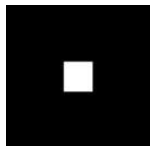
离散傅里叶变换

(3) 几何变换性

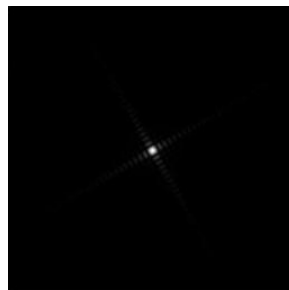
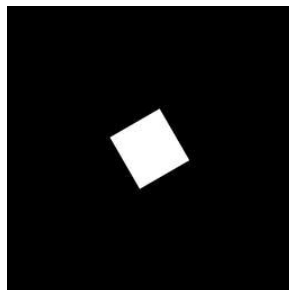
■ 例程



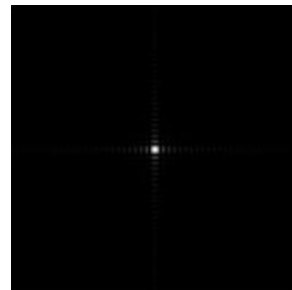
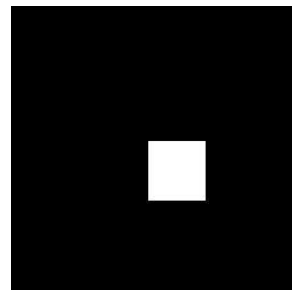
原图及频谱



缩小及频谱



旋转及频谱



平移及频谱



4.1.4 二维DFT的性质

离散傅里叶变换

(4) Parseval定理

若 $\mathcal{F}[f(x, y)] = F(u, v)$

$$\sum_{x=0}^{M-1} \sum_{y=0}^{N-1} |f(x, y)|^2 = \sum_{u=0}^{M-1} \sum_{v=0}^{N-1} |F(u, v)|^2$$

变换前后不损失能量，仅改变信号的表现形式，变换编码的基本条件。



4.1.4 二维DFT的性质

离散傅里叶变换

(5) 卷积定理

$$\text{若 } \mathcal{F}[f(x,y)] = F(u,v) \quad \mathcal{F}[g(x,y)] = G(u,v)$$

$$f(x,y) * g(x,y) \Leftrightarrow F(u,v) \cdot G(u,v)$$

$$f(x,y) \cdot g(x,y) \Leftrightarrow F(u,v) * G(u,v)$$



4.1.5 DFT在图像处理中的应用

离散傅里叶变换

(1) 描述图像信息

■ 傅立叶描绘子

- 描绘子：表征图像特征的一系列符号，
- 描绘子的几何变换不变性：图像内容不变，仅产生几何变换，描绘子唯一。
- 闭合区域边界上的点列用复数序列表示：

$$z(n) = x(n) + iy(n) \quad n = 0, 1, \dots, N-1$$

$z(n)$ 的DFT系数 $Z(k)$ 称为傅立叶描绘子。

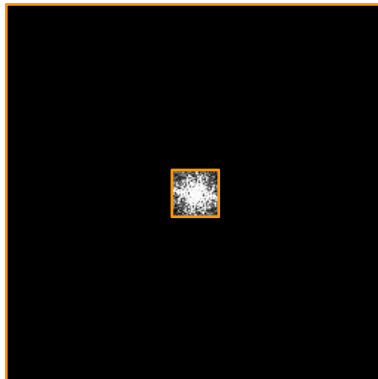
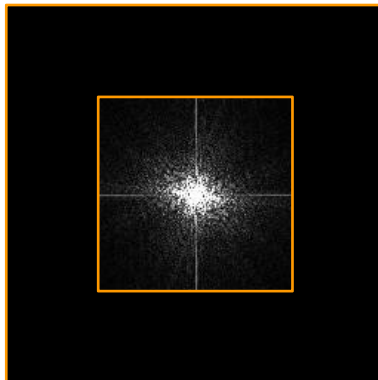
- $Z(k)$ 系数幅值具有旋转不变性和平移不变性，相位信息具有缩放不变性。

4.1.5 DFT在图像处理中的应用

离散傅里叶变换

(2) 在图像滤波中的应用

- 能量聚集在中间：低频部分
- 低通滤波

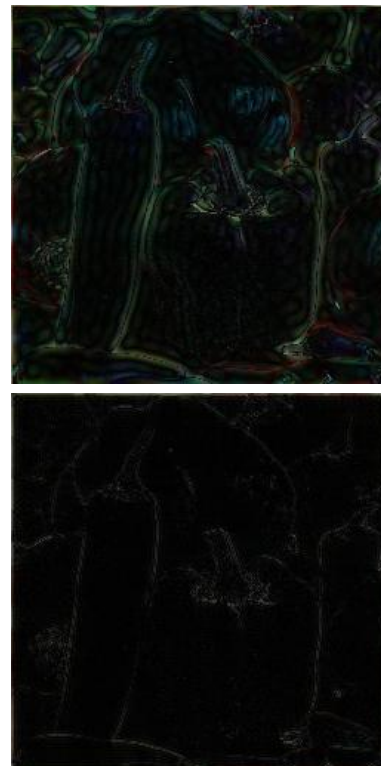
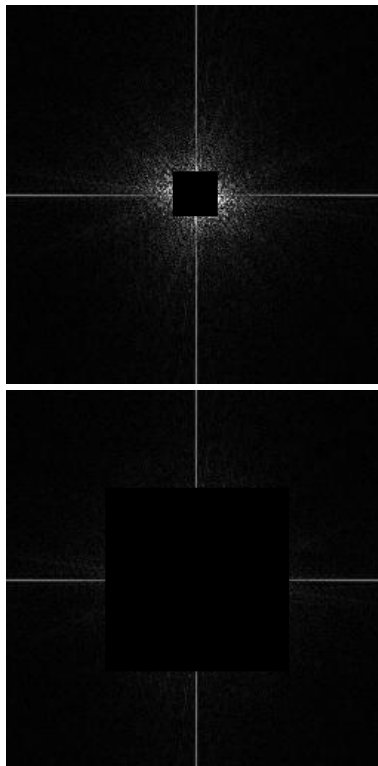


4.1.5 DFT在图像处理中的应用

离散傅里叶变换

(2) 在图像滤波中的应用

- 能量聚集在中间：低频部分
- 高通滤波





4.1.5 DFT在图像处理中的应用

离散傅里叶变换

(3) 在图像压缩中的应用

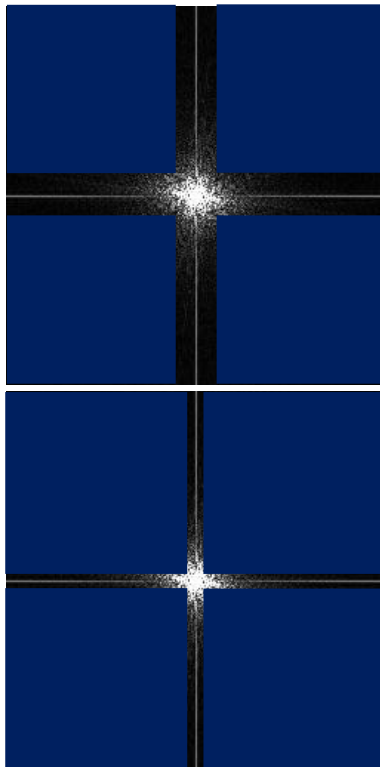
- 由Parseval定理知，变换前后能量不发生损失，只是改变了信号的表现形式，DFT变换系数表现的是各个频率点上的幅值；
- 高频反映细节、低频反映景物概貌，往往认为可将高频系数置为0，降低数据量；
- 同时由于人眼的惰性，合理地设置高频系数为0，图像质量一定范围内的降低不会被人眼察觉到。

4.1.5 DFT在图像处理中的应用

离散傅里叶变换

(3) 在图像压缩中的应用

- 能量聚集在中间：低频部分





4.1.5 DFT在图像处理中的应用

离散傅里叶变换

(4) 卷积性质的应用

- 抽象来看，图像处理算法可以认为是图像信息经过了滤波器的滤波（如：平滑滤波、锐化滤波等）。
- 如果滤波器的结构比较复杂时，直接进行时域中的卷积运算是不可思议的。

$$f_g = g * f$$

$$F_g(u, v) = G(u, v) \cdot F(u, v)$$

$$f_g = IDFT(F_g)$$



4.1.5 DFT在图像处理中的应用

离散傅里叶变换

■ 例程

打开一幅图像，对其进行DFT变换及频域滤波

```
Image=imread('desert.jpg');  
grayIn=rgb2gray(Image);  
[h,w]=size(grayIn);  
DFTI=fftshift(fft2(grayIn));  
cf=30;  
HDFTI=DFTI;  
HDFTI(h/2-cf:h/2+cf,w/2-cf:w/2+cf)=0;  
grayOut1=uint8(abs(ifft2(ifftshift(HDFTI))));  
subplot(131),imshow(Image),title('原图');  
subplot(132),imshow(grayOut1),title('高通滤波');
```

4.1.5 DFT在图像处理中的应用

离散傅里叶变换

■ 例程

```
LDFTI=zeros(h,w);  
LDFTI(h/2-cf:h/2+cf,w/2-cf:w/2+cf)=  
    DFTI(h/2-cf:h/2+cf,w/2-cf:w/2+cf);  
grayOut2=uint8(abs(ifft2(ifftshift(LDFTI))));  
subplot(133),imshow(grayOut2),title('低通滤波');
```



原图



高通滤波



低通滤波



4.2 离散余弦变换



问题的提出：

Fourier变换的一个最大的问题是：它的参数都是复数，在数据的描述上相当于实数的两倍。为此，我们希望有一种能够达到相同功能但数据量又不大的变换。

在此期望下，产生了离散余弦变换(Discrete Cosine Transform-简称DCT)变换。



4.2 离散余弦变换



4.2.1 一维离散余弦变换

4.2.2 二维离散余弦变换

4.2.3 离散余弦变换在图像处理中的应用

离散余弦变换 (Discrete Cosine Transform, DCT)



4.2.1一维DCT

离散余弦变换

(1) 定义

对于有限长数字序列 $f(x), x=0,1,\dots,N-1$

■ 一维DCT变换定义

$$F(u) = C(u) \sqrt{\frac{2}{N}} \sum_{x=0}^{N-1} f(x) \cos \frac{(2x+1)u\pi}{2N} \quad u = 0, 1, \dots, N-1$$

■ 一维IDCT变换定义

$$f(x) = \sqrt{\frac{2}{N}} \sum_{u=0}^{N-1} C(u) F(u) \cos \frac{(2x+1)u\pi}{2N} \quad x = 0, 1, \dots, N-1$$

$$\text{其中 } C(u) = \begin{cases} \frac{1}{\sqrt{2}} & u = 0 \\ 1 & u = 1, 2, \dots, N-1 \end{cases}$$



4.2.1一维DCT

离散余弦变换

(2) 实例

- 一个长为4的数字序列，求其DCT

$$F(u) = C(u) \sqrt{\frac{2}{4}} \sum_{x=0}^3 f(x) \cos \frac{(2x+1)u\pi}{8} \quad u = 0, 1, 2, 3$$

$$\begin{cases} F(0) = \frac{1}{\sqrt{2}} \frac{1}{\sqrt{2}} \sum_{x=0}^3 f(x) \\ F(1) = \sqrt{\frac{1}{2}} \sum_{x=0}^3 f(x) \cos \frac{(2x+1)\pi}{8} \\ F(2) = \sqrt{\frac{1}{2}} \sum_{x=0}^3 f(x) \cos \frac{2(2x+1)\pi}{8} \\ F(3) = \sqrt{\frac{1}{2}} \sum_{x=0}^3 f(x) \cos \frac{3(2x+1)\pi}{8} \end{cases} \quad \begin{pmatrix} F(0) \\ F(1) \\ F(2) \\ F(3) \end{pmatrix} = \frac{1}{\sqrt{2}} \begin{pmatrix} \frac{1}{\sqrt{2}} & \frac{1}{\sqrt{2}} & \frac{1}{\sqrt{2}} & \frac{1}{\sqrt{2}} \\ \cos \frac{\pi}{8} & \cos \frac{3\pi}{8} & \cos \frac{5\pi}{8} & \cos \frac{7\pi}{8} \\ \cos \frac{2\pi}{8} & \cos \frac{6\pi}{8} & \cos \frac{10\pi}{8} & \cos \frac{14\pi}{8} \\ \cos \frac{3\pi}{8} & \cos \frac{9\pi}{8} & \cos \frac{15\pi}{8} & \cos \frac{21\pi}{8} \end{pmatrix} \begin{pmatrix} f(0) \\ f(1) \\ f(2) \\ f(3) \end{pmatrix}$$



4.2.1 一维DCT

离散余弦变换

(2) 实例

■ 一维DCT变换的矩阵形式表示

$$F = Af$$

$$A = \sqrt{\frac{2}{N}} \begin{pmatrix} \frac{1}{\sqrt{2}} & \frac{1}{\sqrt{2}} & \cdots & \frac{1}{\sqrt{2}} \\ \cos \frac{1}{2N} \pi & \cos \frac{3}{2N} \pi & \cdots & \cos \frac{(2N-1)}{2N} \pi \\ \vdots & \vdots & \ddots & \vdots \\ \cos \frac{N-1}{2N} \pi & \cos \frac{3(N-1)}{2N} \pi & \cdots & \cos \frac{(2N-1)(N-1)}{2N} \pi \end{pmatrix}$$



4.2.2 二维DCT

离散余弦变换

(1) 定义

$$F(u, v) = \frac{2}{\sqrt{MN}} C(u) C(v) \sum_{x=0}^{M-1} \sum_{y=0}^{N-1} f(x, y) \cos \left[\frac{\pi(2x+1)u}{2M} \right] \cos \left[\frac{\pi(2y+1)v}{2N} \right]$$
$$f(x, y) = \frac{2}{\sqrt{MN}} \sum_{u=0}^{M-1} \sum_{v=0}^{N-1} C(u) C(v) F(u, v) \cos \left[\frac{\pi(2x+1)u}{2M} \right] \cos \left[\frac{\pi(2y+1)v}{2N} \right]$$

$$x, u = 0, 1, 2, \dots, M-1$$

$$y, v = 0, 1, 2, \dots, N-1$$

$$C(u), C(v) = \begin{cases} \frac{1}{\sqrt{2}} & u, v = 0 \\ 1 & u, v = 1, 2, \dots, N-1 \end{cases}$$



4.2.2 二维DCT

离散余弦变换

(1) 定义

■ 二维DCT变换的矩阵形式表示

$$F = AfA^T \quad f = A^T F A$$

$$A = \sqrt{\frac{2}{N}} \begin{pmatrix} \frac{1}{\sqrt{2}} & \frac{1}{\sqrt{2}} & \cdots & \frac{1}{\sqrt{2}} \\ \cos \frac{1}{2N} \pi & \cos \frac{3}{2N} \pi & \cdots & \cos \frac{(2N-1)}{2N} \pi \\ \vdots & \vdots & \ddots & \vdots \\ \cos \frac{N-1}{2N} \pi & \cos \frac{3(N-1)}{2N} \pi & \cdots & \cos \frac{(2N-1)(N-1)}{2N} \pi \end{pmatrix}$$





4.2.2 二维DCT

离散余弦变换

(2) 实例

■ 一幅图像 $f(x,y) = \begin{pmatrix} 0 & 0 & 1 & 1 \\ 0 & 0 & 1 & 1 \\ 0 & 0 & 1 & 1 \\ 0 & 0 & 1 & 1 \end{pmatrix}$ 用矩阵算法求其DCT

$$A = \frac{1}{\sqrt{2}} \begin{pmatrix} \frac{1}{\sqrt{2}} & \frac{1}{\sqrt{2}} & \frac{1}{\sqrt{2}} & \frac{1}{\sqrt{2}} \\ \cos \frac{\pi}{8} & \cos \frac{3\pi}{8} & \cos \frac{5\pi}{8} & \cos \frac{7\pi}{8} \\ \cos \frac{2\pi}{8} & \cos \frac{6\pi}{8} & \cos \frac{10\pi}{8} & \cos \frac{14\pi}{8} \\ \cos \frac{3\pi}{8} & \cos \frac{9\pi}{8} & \cos \frac{15\pi}{8} & \cos \frac{21\pi}{8} \end{pmatrix}$$

$$F = \begin{pmatrix} 2 & -1.848 & 0 & 0.764 \\ 0 & 0 & 0 & 0 \\ 0 & 0 & 0 & 0 \\ 0 & 0 & 0 & 0 \end{pmatrix}$$

幅值大

幅值小



4.2.2 二维DCT

离散余弦变换

(3) 例程

■ 函数

$Y = \text{dct}(X)$ $Y = \text{idct}(X)$

$Y = \text{dct2}(X)$ $Y = \text{idct2}(X)$

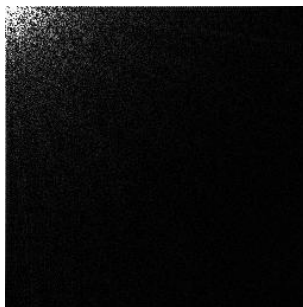
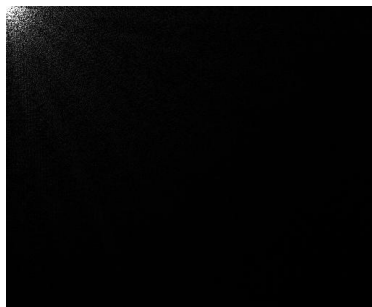
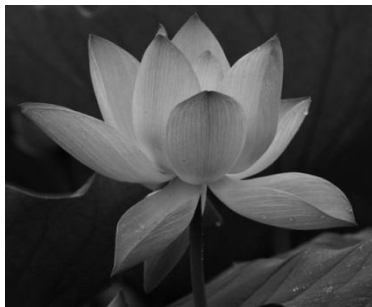
■ 程序

```
Image=imread('cameraman.jpg');  
grayI=rgb2gray(Image);  
DCTI=dct2(grayI);  
ADCTI=abs(DCTI);  
top=max(ADCTI(:));  
bottom=min(ADCTI(:));  
ADCTI=(ADCTI-bottom)/(top-bottom)*100;  
figure,imshow(ADCTI);
```

4.2.2 二维DCT

离散余弦变换

(3) 例程



能量主要集中在左上角低频分量处



4.2.3 DCT在图像处理中的应用

离散余弦变换

- DCT具有很强的“**能量集中**”特性：大多数的能量集中在离散余弦变换后的低频部分。
- DCT在图像处理中主要用于对图像（包括静止图像和运动图像）进行有损**数据压缩**。如静止图像编码标准JPEG、运动图像编码标准MPEG中都使用了离散余弦变换。

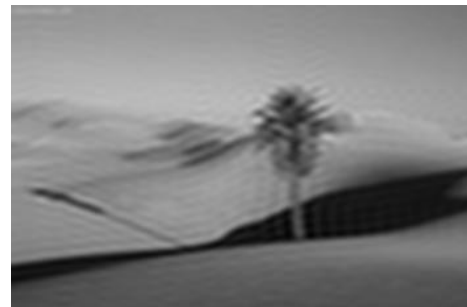
4.2.3 DCT在图像处理中的应用

离散余弦变换

■ 例程

打开一幅图像，对其进行DCT变换，将高频置零并进行反变换

```
Image=imread('desert.jpg');  
grayIn=rgb2gray(Image);  
DCTI=dct2(grayIn);  
cf=60;  
FDCTI=zeros(h,w);  
FDCTI(1:cf,1:cf)=DCTI(1:cf,1:cf);  
grayOut=uint8(abs(idct2(FDCTI)));  
subplot(121),imshow(Image),title('原图');  
subplot(122),imshow(grayOut),title('压缩重建');
```





4.3 K-L变换



- K-L变换（Karhunen-Loeve Transform）是建立在统计特性基础上的一种变换，又称为霍特林（Hotelling）变换或**主成分分析**。
- K-L变换的突出优点是相关性好，是均方误差（MSE, Mean Square Error）意义下的**最佳变换**，它在数据压缩技术中占有重要地位。



4.3 K-L变换



4.3.1 K-L变换原理

4.3.2 图像K-L变换



4.3 K-L变换



K-L变换：对于一个任意维度向量，都可以用一个完备的正交归一向量系来展开。展开之后是一个有无穷多项的无穷级数，如果只选取有限项来表示这一向量，就达到了降维的目的。而选取有限项势必会存在误差，选取的项数越多误差会越小，但是项数增加就会影响降维的效果。

如何在这二者之间找到一个平衡？

K-L变换将任意维度向量分解为各个正交向量之和，使每个向量所携带的信息都尽可能多，达到了以最少项数，包含最多信息的目的。在不丢失主要信息的条件下，起到了最好的降维效果。



4.3.1 K-L变换原理

K-L变换

(1) K-L展开式

■ 展开

设一连续的随机函数 $x(t)$, $T_1 \leq t \leq T_2$, 可用已知的正交函数集 $\{\varphi_j(t), j=1,2,\dots\}$ 的线性组合展开

$$x(t) = a_1\varphi_1(t) + a_2\varphi_2(t) + \dots + a_j\varphi_j(t) + \dots = \sum_{j=1}^{\infty} a_j\varphi_j(t)$$

$T_1 \leq t \leq T_2$, a_j 为展开式系数

$$\varphi_j(t): \text{连续正交函数}, \int_{T_1}^{T_2} \varphi_n(t) \cdot \bar{\varphi}_m(t) dt = \begin{cases} 1 & m = n \\ 0 & m \neq n \end{cases}$$



4.3.1 K-L变换原理

K-L变换

(1) K-L展开式

■ 采样

将 $x(t)$ 和 $\varphi_j(t)$ 在 $[T_1, T_2]$ 内等间隔采样 n 个离散点:

$$x(t) \rightarrow \{x(1), x(2), \dots, x(n)\}, \quad \varphi_j(t) \rightarrow \{\varphi_j(1), \varphi_j(2), \dots, \varphi_j(n)\},$$

表示成向量:

$$X = (x(1) \quad x(2) \quad \dots \quad x(n))^T$$

$$\Phi = (\varphi_j(1) \quad \varphi_j(2) \quad \dots \quad \varphi_j(n))^T \quad j = 1, 2, \dots, n$$



4.3.1 K-L变换原理

K-L变换

(1) K-L展开式

■ 近似

$$X = \sum_{j=1}^n a_j \varphi_j = \Phi A$$

$$A = (a_1 \quad a_2 \quad \cdots \quad a_n)^T$$

$$\Phi = (\varphi_1 \quad \varphi_2 \quad \cdots \quad \varphi_n) = \begin{pmatrix} \varphi_1(1) & \varphi_2(1) & \cdots & \varphi_n(1) \\ \varphi_1(2) & \varphi_2(2) & \cdots & \varphi_n(2) \\ \vdots & \vdots & \ddots & \vdots \\ \varphi_1(n) & \varphi_2(n) & \cdots & \varphi_n(n) \end{pmatrix}$$



4.3.1 K-L变换原理

K-L变换

(2) 离散K-L变换

■ 原理

□ K-L展开: $X = \sum_{j=1}^{\infty} a_j u_j$

u_j 为确定的完备正交归一向量系

□ 用有限的 m 项来估计 X , 即: $\hat{X} = \sum_{j=1}^m a_j u_j$

□ 计算均方误差

$$\overline{\varepsilon^2} = E \left[(X - \hat{X})^T (X - \hat{X}) \right] = E \left[\sum_{j=m+1}^{\infty} a_j u_j \cdot \sum_{j=m+1}^{\infty} a_j u_j \right]$$

$$u_i^T u_j = \begin{cases} 1 & i = j \\ 0 & i \neq j \end{cases} \quad a_j = u_j^T X$$



4.3.1 K-L变换原理

K-L变换

(2) 离散K-L变换

$$\overline{\varepsilon^2} = E \left[\sum_{j=m+1}^{\infty} a_j^2 \right] = E \left[\sum_{j=m+1}^{\infty} u_j^T X X^T u_j \right] = \sum_{j=m+1}^{\infty} u_j^T E [X X^T] u_j = \sum_{j=m+1}^{\infty} u_j^T \Psi u_j$$

□ 利用Lagrange乘数法求均方误差取极值时的 u

$$h(u_j) = \sum_{j=m+1}^{\infty} u_j^T \Psi u_j - \sum_{j=m+1}^{\infty} \lambda [u_j^T u_j - 1]$$

对 u_j 求导数, 得 $(\Psi - \lambda_j I) u_j = 0, j = m+1, \dots, \infty$

λ_j 为 Ψ 的特征值, u_j 为 λ_j 对应的特征向量, 此时: $\overline{\varepsilon^2} = \sum_{j=m+1}^{\infty} \lambda_j$



4.3.1 K-L变换原理

K-L变换

(2) 离散K-L变换

- 选取矩阵 ψ 的 m 个最大特征值对应的特征向量来逼近 X 时，均方误差最小
- 这 m 个特征向量所组成的正交坐标系称作 X 所在的 n 维空间的 m 维K-L变换坐标系。
- X 在K-L坐标系上的展开系数向量 A 称作 **X 的K-L变换**



4.3.1 K-L变换原理

K-L变换

(2) 离散K-L变换

■ 性质

$$\psi u_j = \lambda_j u_j \quad \psi U = U D_\lambda \quad D_\lambda = \begin{bmatrix} \lambda_1 & 0 & \cdots & 0 \\ 0 & \lambda_2 & \cdots & 0 \\ \vdots & \vdots & \ddots & \vdots \\ 0 & 0 & \cdots & \lambda_n \end{bmatrix}$$

$$U \text{ 为正交矩阵} \quad \psi = U D_\lambda U^T$$

$$X = UA$$

$$\psi = E[XX^T] = E[UA A^T U^T] = U E[A A^T] U^T = U D_\lambda U^T$$

$$E[A A^T] = D_\lambda$$



4.3.1 K-L变换原理

K-L变换

(2) 离散K-L变换

■ 性质

- 变换后的向量 A 的自相关矩阵,是**对角矩阵**,且对角元素就是 X 的自相关矩阵的特征值
- 显然, 通过**K-L变换**, **消除了原有向量 X 的各分量之间的相关性**, 即变换后的数据 A 的各分量之间的信息是相互独立的。



4.3.1 K-L变换原理

K-L变换

(2) 离散K-L变换

■ 产生矩阵

- 由于总体均值向量常常没有什么意义，常把数据的**协方差矩阵**作为K-L坐标系的产生矩阵

$$\Sigma = E \left[(X - \mu)(X - \mu)^T \right]$$



4.3.1 K-L变换原理

K-L变换

(2) 离散K-L变换

■ 实例

向量集为 $\left\{ \begin{array}{l} \omega_1: (0 \ 0 \ 0)^T, (1 \ 0 \ 1)^T, (1 \ 0 \ 0)^T, (1 \ 1 \ 0)^T \\ \omega_2: (0 \ 0 \ 1)^T, (0 \ 1 \ 1)^T, (0 \ 1 \ 0)^T, (1 \ 1 \ 1)^T \end{array} \right\}$

采用自相关矩阵作为产生矩阵对其进行K-L变换。

□ 自相关矩阵

$$\begin{aligned} \Psi &= E[xx^T] = \frac{1}{8} \sum_{i=1}^8 x_i x_i^T \\ &= \frac{1}{8} \left\{ \begin{pmatrix} 0 \\ 0 \\ 0 \end{pmatrix} (0 \ 0 \ 0) + \cdots + \begin{pmatrix} 1 \\ 1 \\ 1 \end{pmatrix} (1 \ 1 \ 1) \right\} = \frac{1}{4} \begin{pmatrix} 2 & 1 & 1 \\ 1 & 2 & 1 \\ 1 & 1 & 2 \end{pmatrix} \end{aligned}$$



4.3.1 K-L变换原理

K-L变换

(2) 离散K-L变换

■ 实例

□ 求特征值 令 $|\Psi - \lambda I| = 0$, 即

$$\begin{vmatrix} 2-4\lambda & 1 & 1 \\ 1 & 2-4\lambda & 1 \\ 1 & 1 & 2-4\lambda \end{vmatrix} = \begin{vmatrix} 1-4\lambda & 4\lambda-1 & 0 \\ 0 & 1-4\lambda & 4\lambda-1 \\ 1 & 1 & 2-4\lambda \end{vmatrix} = (1-4\lambda)^2 \begin{vmatrix} 1 & -1 & 0 \\ 0 & 1 & -1 \\ 1 & 1 & 2-4\lambda \end{vmatrix}$$
$$= (1-4\lambda)^2 \begin{vmatrix} 1 & -1 & 0 \\ 0 & 1 & -1 \\ 0 & 2 & 2-4\lambda \end{vmatrix} = 4(1-4\lambda)^2 (1-\lambda) = 0$$

$$\lambda_1 = 1 \quad \lambda_2 = 1/4 \quad \lambda_3 = 1/4$$



4.3.1 K-L变换原理

K-L变换

(2) 离散K-L变换

■ 实例

□ 求特征向量

$$\Psi - \lambda_1 I = \frac{1}{4} \begin{pmatrix} -2 & 1 & 1 \\ 1 & -2 & 1 \\ 1 & 1 & -2 \end{pmatrix} \sim \begin{pmatrix} -1 & 1 & 0 \\ 0 & -1 & 1 \\ 0 & 0 & 0 \end{pmatrix} \Rightarrow \begin{cases} x_1 = x_2 \\ x_2 = x_3 \\ x_3 = x_3 \end{cases}$$

$$\Psi - \lambda_2 I = \frac{1}{4} \begin{pmatrix} 1 & 1 & 1 \\ 1 & 1 & 1 \\ 1 & 1 & 1 \end{pmatrix} \sim \begin{pmatrix} 1 & 1 & 1 \\ 0 & 0 & 0 \\ 0 & 0 & 0 \end{pmatrix} \Rightarrow x_3 = -(x_1 + x_2)$$

$$u_1 = \frac{1}{\sqrt{3}}(1 \quad 1 \quad 1)^T \quad u_2 = \frac{1}{\sqrt{2}}(1 \quad -1 \quad 0)^T \quad u_3 = \frac{1}{\sqrt{6}}(1 \quad 1 \quad -2)^T$$



4.3.1 K-L变换原理

K-L变换

(2) 离散K-L变换

■ 实例

□ 变换矩阵U $\lambda_1 > \lambda_2 = \lambda_3$ $U = (u_1, u_2)$

□ 计算K-L变换 $A = U^T X$

$$\omega_1^* : \left\{ (0 \ 0)^T, \left(\frac{2}{\sqrt{3}} \ \frac{1}{\sqrt{2}} \right)^T, \left(\frac{1}{\sqrt{3}} \ \frac{1}{\sqrt{2}} \right)^T, \left(\frac{2}{\sqrt{3}} \ 0 \right)^T \right\}$$

$$\omega_2^* : \left\{ \left(\frac{1}{\sqrt{3}} \ 0 \right)^T, \left(\frac{2}{\sqrt{3}} \ -\frac{1}{\sqrt{2}} \right)^T, \left(\frac{1}{\sqrt{3}} \ -\frac{1}{\sqrt{2}} \right)^T, \left(\frac{3}{\sqrt{3}} \ 0 \right)^T \right\}$$



4.3.1 K-L变换原理

K-L变换

(2) 离散K-L变换

■ 例程

```
X=[0 0 0;1 0 1;1 0 0;1 1 0;0 0 1;0 1 1;0 1 0;1 1 1]';  
[n, N]=size(X);  
V=X*X'/N;  
[coeff, D]=eigs(V);  
[D_sort,index] = sort(diag(D),'descend');  
D=D(index,index);  
coeff = coeff(:,index);  
score=coeff'*X;  
figure; plot(score(1,:),score(2:),'ko'),title('K-L变换');  
xlabel('第一主成分得分');ylabel('第二主成分得分');
```

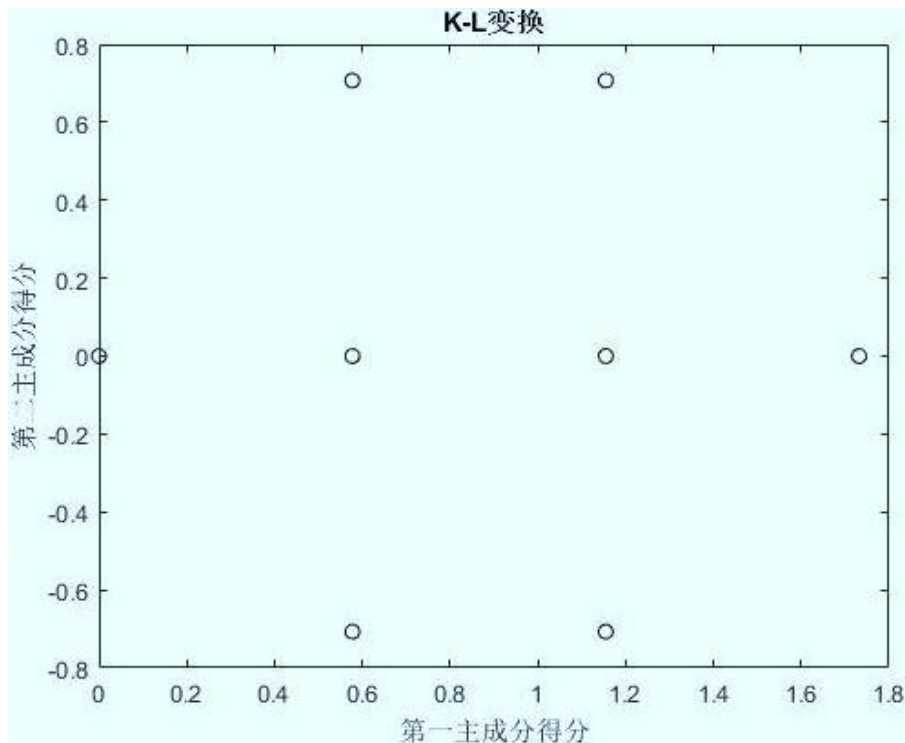


4.3.1 K-L变换原理

K-L变换

(2) 离散K-L变换

■ 例程





4.3.2 图像K-L变换

K-L变换

(1) 原理

- 将二维图像采用行堆叠或列堆叠转换为一维处理
- 设一幅大小为 $M \times N$ 的图像 $f(x,y)$ ，在某个传输通道上传输了 L 次，由于受到各种因素的随机干扰，接收的图像是一个图像集合：

$$\{f_1(x,y), f_2(x,y), \dots, f_L(x,y)\}$$

- 采用行堆叠将每一幅 $M \times N$ 的图像表示为 MN 维的向量：

$$f_i = \begin{bmatrix} f_i(0,0) \\ f_i(0,1) \\ \vdots \\ f_i(M-1, N-1) \end{bmatrix}$$



4.3.2 图像K-L变换

K-L变换

(1) 原理

- 定义 f 向量的协方差矩阵和相应变换核矩阵

$$\Sigma_f = E\left[(f - \mu_f)(f - \mu_f)^T\right] \approx \frac{1}{L} \left[\sum_{i=1}^L f_i f_i^T \right] - \mu_f \mu_f^T$$

设 λ_i 和 u_i 为 Σ_f 的特征值和特征向量且降序排列

$$\lambda_1 > \lambda_2 > \lambda_3 > \lambda_4 > \dots > \lambda_{M \times N}$$

$$U = (u_1, u_2, \dots, u_{M \times N}) = \begin{pmatrix} u_{11} & u_{21} & \cdots & u_{MN1} \\ u_{12} & u_{22} & \cdots & u_{MN2} \\ \vdots & \vdots & \ddots & \vdots \\ u_{1MN} & u_{2MN} & \cdots & u_{MNMN} \end{pmatrix}$$

- 二维K-L变换

$$F = U^T (f - \mu_f)$$



4.3.2 图像K-L变换

K-L变换

■ 在图像压缩中的应用

- 数字图像压缩编码就是采取各种手段，在保证达到所要求的图像质量的前提下，尽量消除图像信号的冗余信息，减少表示图像所需的比特数。
- K-L变换要根据具体的图像的统计特性(图像的协方差矩阵)来决定它的变换矩阵，这赋予K-L变换最大优点:去相关性好，能将信号在变换域的相关性全部解除。
- K-L变换是最小均方误差(MMSE, Minimum Mean Square Error)意义下的最佳变换。



4.3.2 图像K-L变换

K-L变换

■ 在图像压缩中的计算过程

- 首先读取图片信息，将图片信息以像素为单位整合成一个固定大小矩阵。然后以上下两行，左右两列相邻的四个像素为一组，构成一随机向量，随机向量中有四个随机变量，而每一组的四个值为该四个随机变量的一组样本。
- 求该随机向量的协方差矩阵并求取协方差矩阵的特征向量和特征值，通过K-L变换，求出展开式中的系数矩阵，选取特征值最大的一组系数，其余三组舍弃。
- 保留的系数向量与对应的特征向量相乘，还原图片信息。相当于四个像素点用一个带系数的特征向量表示，将图片存贮空间缩小为之前的四分之一。



4.3.2 图像K-L变换

K-L变换

■ 在人脸识别中的应用

- 人脸识别分为：人脸检测、人脸跟踪、人脸比对三个部分。在K-L变换中，主要进行人脸检测。
- 在人脸识别中，可以用K-L变换对人脸图像的原始空间进行转换，即构造人脸图像数据集的协方差矩阵，求出协方差矩阵的特征向量，再依据特征值的大小对这些特征向量进行排序，这些特征向量表示特征的一个集合，它们共同表示一个人脸图像。
- 在人脸识别领域，人们常称这些特征向量为特征脸。每一个体人脸图像都可以确切地表示为一组特征脸的线性组合。



4.3.2 图像K-L变换

K-L变换

■ 在人脸识别中的计算过程

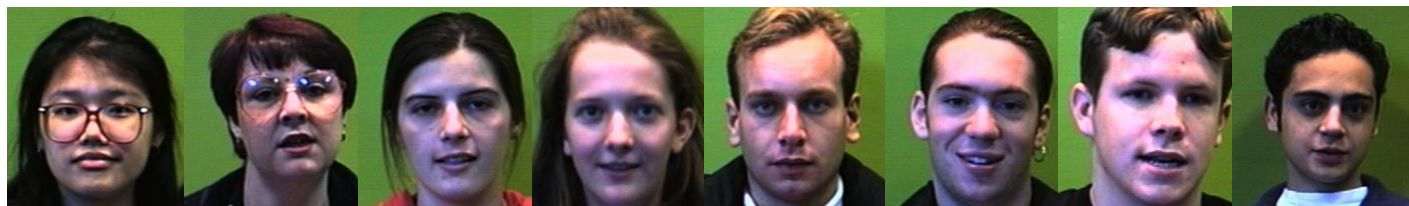
- 首先构建人脸图片信息库，并进行预处理。
- 在matlab 中使用imresize函数将其尺寸压缩成 64×64 的RGB彩色图片,随后使用rgb2gray 函数将图片转换为灰度图,并将矩阵数据按行展开,排列一个列向量。
- 做K-L变换后得到系数向量矩阵和正交基。然后对测试图片在相同的正交基下做K-L变换，求得系数向量。
- 最后对比测试图片的系数向量与原信息库中的系数向量矩阵，求距离向量，选取最小的距离所代表的的人脸，即为人脸识别的预测结果。

4.3.2 图像K-L变换

K-L变换

(2) 实现

由于图像维数 MN 一般很高，直接求解特征值和特征向量不现实，一般采用奇异值分解的方法



原图



第一主成分重建



4.4 Radon变换



4. 4. 1Radon变换的原理

4. 4. 2Radon变换的实现

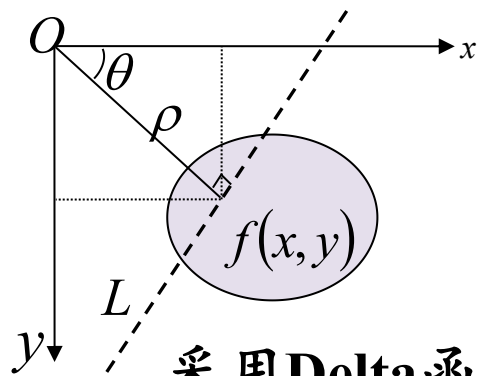
4. 4. 3Radon变换的性质

4. 4. 4Radon变换的应用



4.4.1 Radon变换的原理

Radon变换



直线 L : $\rho = x \cos \theta + y \sin \theta$

将函数 $f(x, y)$ 沿直线 L 做线积分

$$R(\rho, \theta) = \int_L f(x, y) ds$$

采用Delta函数表示直线 L

$$\delta(x \cos \theta + y \sin \theta - \rho) = \begin{cases} 0, & x \cos \theta + y \sin \theta - \rho \neq 0 \\ 1, & x \cos \theta + y \sin \theta - \rho = 0 \end{cases}$$

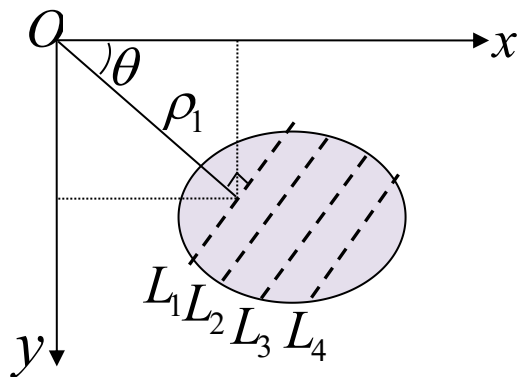
■ Radon变换对

$$R(\rho, \theta) = \int_{-\infty}^{\infty} \int_{-\infty}^{\infty} f(x, y) \delta(x \cos \theta + y \sin \theta - \rho) dx dy$$

$$f(x, y) = \frac{1}{2\pi^2} \int_0^\pi d\theta \int_{-\infty}^{\infty} \frac{\partial R / \partial \rho}{x \cos \theta + y \sin \theta - \rho} d\rho$$

4.4.1 Radon变换的原理

Radon变换



对一幅图像，在某一特定角度下的Radon变换会产生 n 个线积分值，构成一个 n 维的向量，称为 $f(x,y)$ 在角度 θ 下的投影

Radon变换即 xy 空间向 $\rho\theta$ 空间的投影， $\rho\theta$ 空间每一点对应 xy 空间一条线

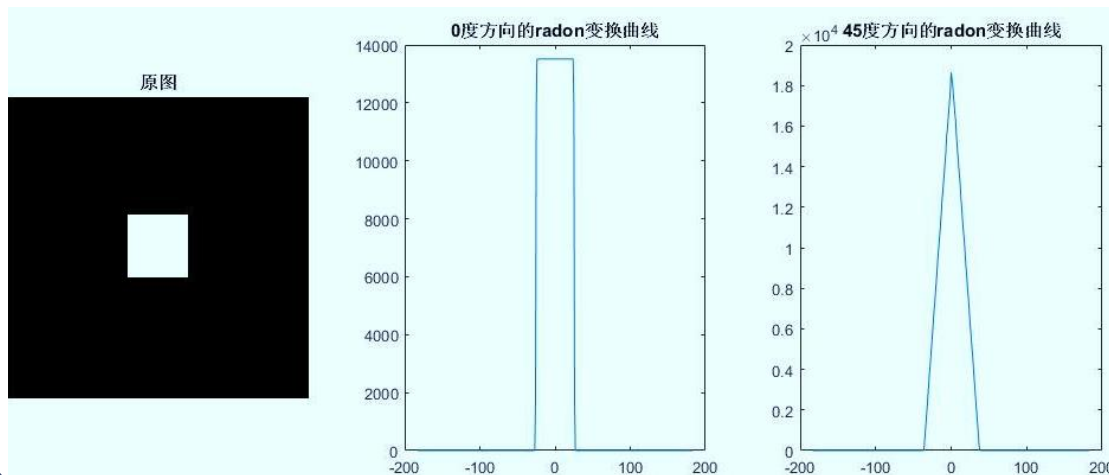


4.4.2 Radon变换的实现

Radon变换

■ 例程1：对图像进行指定方向上的Radon变换

```
Image=rgb2gray(imread('block.bmp'));  
[R1,X1]=radon(Image,0);    [R2,X2]=radon(Image,45);  
subplot(131),imshow(Image),title('原图');  
subplot(132),plot(X1,R1),title('0° 方向上的Radon变换');  
subplot(133),plot(X2,R2),title('45° 方向上的Radon变换');
```



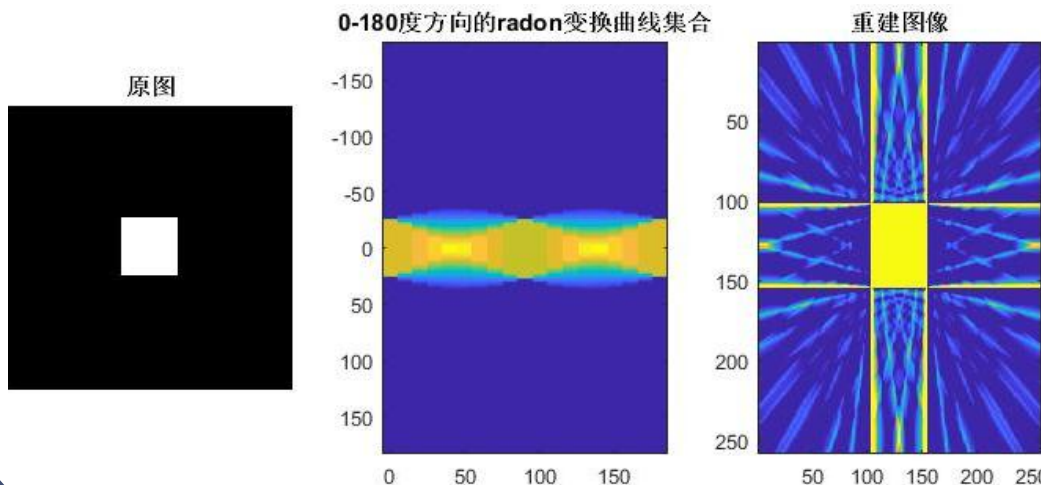


4.4.2 Radon变换的实现

Radon变换

■ 例程2：对图像进行Radon变换和反变换

```
Image=rgb2gray(imread('block.bmp'));  
theta=0:10:180;[R,X]=radon(Image,theta); result=iradon(R,theta);  
subplot(131),imshow(Image),title('原图');  
subplot(132),imagesc(theta,X,R),title('radon变换曲线集合');  
subplot(133),image(result),title('重建图像');
```





4.4.3 Radon变换的性质

Radon变换

■ 线性

$$\mathcal{R}[a_1 f_1 + a_2 f_2] = a_1 \mathcal{R}[f_1] + a_2 \mathcal{R}[f_2]$$

■ 平移性

$$\mathcal{R}[f(x - \Delta x, y - \Delta y)] = R(\rho - \Delta \rho, \theta) \quad \Delta \rho = \Delta x \cos \theta + \Delta y \sin \theta$$

■ 相似性

$$\text{若 } \mathcal{R}[f(x, y)] = R(\rho, \cos \theta, \sin \theta)$$

$$\mathcal{R}[f(ax, by)] = \frac{1}{|ab|} R_f\left(\rho, \frac{\cos \theta}{a}, \frac{\sin \theta}{b}\right)$$

$(\cos \theta, \sin \theta)$ 为 θ 方向上的单位矢量



4.4.3 Radon变换的性质

Radon变换

■ 微分

原函数求偏微分

$$\begin{cases} \frac{\partial f}{\partial x} = \lim_{\Delta x \rightarrow 0} \frac{f(x + \Delta x / \cos \theta, y) - f(x, y)}{\Delta x / \cos \theta} \\ \frac{\partial f}{\partial y} = \lim_{\Delta y \rightarrow 0} \frac{f(x, y + \Delta y / \sin \theta) - f(x, y)}{\Delta y / \sin \theta} \end{cases}$$

进行Radon变换

$$\begin{cases} \mathcal{R} \left[\frac{\partial f}{\partial x} \right] = \cos \theta \lim_{\Delta x \rightarrow 0} \frac{R(\rho + \Delta x, \theta) - R(\rho, \theta)}{\Delta x} \\ \mathcal{R} \left[\frac{\partial f}{\partial y} \right] = \sin \theta \lim_{\Delta y \rightarrow 0} \frac{R(\rho + \Delta y, \theta) - R(\rho, \theta)}{\Delta y} \end{cases}$$

得

$$\begin{cases} \mathcal{R} \left[\frac{\partial f}{\partial x} \right] = \cos \theta \frac{\partial R(\rho, \theta)}{\partial \rho} \\ \mathcal{R} \left[\frac{\partial f}{\partial y} \right] = \sin \theta \frac{\partial R(\rho, \theta)}{\partial \rho} \end{cases}$$



4.4.4 Radon变换的应用

Radon变换

- 可用来检测图像中的线段

图像中高灰度值的线段在 $\rho\theta$ 空间形成亮点，低灰度值的线段形成暗点，对图像中线段的检测可转化为在 $\rho\theta$ 空间对亮点、暗点的检测

- 计算出原图中各方向上的投影值，可以作为方向特征用于目标检测和识别
- 改变图像的表现形式，为相关处理提供便利



4.5 小波变换



4.5.1 小波

4.5.2 一维小波变换

4.5.3 二维小波变换

4.5.4 小波变换在图像处理中的应用



4.5.1小波

小波变换

(1) 定义

设函数 $\psi(t)$ 满足： $\int_R \psi(t) dt = 0$ ，对其进行平移和

伸缩产生函数族： $\psi_{a,b}(t) = \frac{1}{\sqrt{a}} \psi\left(\frac{t-b}{a}\right)$ $a, b \in R, a \neq 0$

$\psi(t)$ 称为基小波或母小波， a 为伸缩因子（尺度因子）， b 为平移因子， $\psi_{a,b}(t)$ 为 $\psi(t)$ 生成的连续小波

4.5.1小波

小波变换

(2) 特点

■ 紧支撑性

小波函数在小范围内波动，能量有限，超出一定范围时，波动幅度迅速衰减，具有速降性。

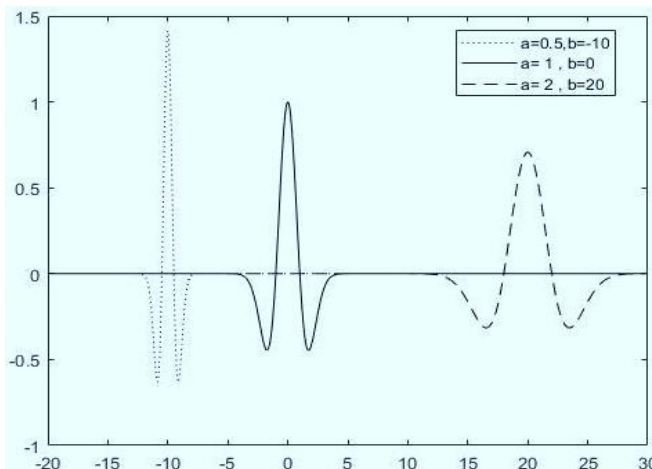
■ 变化性

小波函数随尺度因子的变化而变化

■ K阶消失矩

$$\int_{\mathbb{R}} t^k \psi(t) dt = 0$$

$$k = 0, 1, \dots, K-1$$



Marr小波参数取不同值的波形

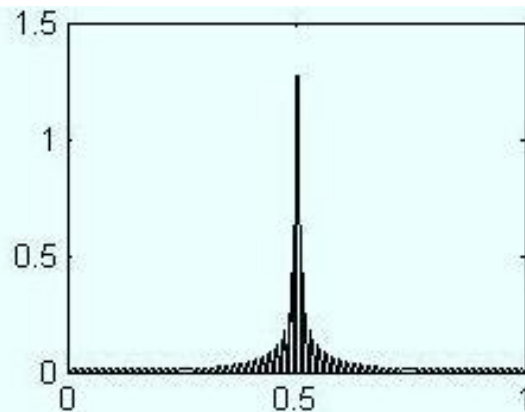
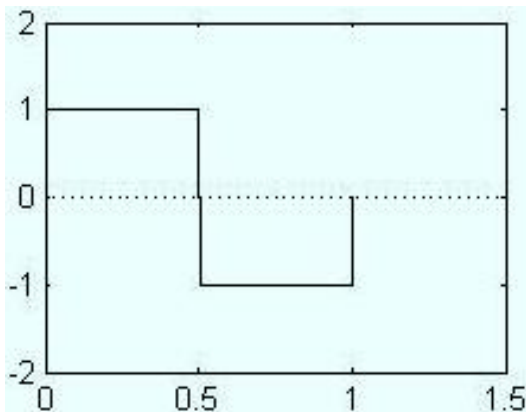
4.5.1小波

小波变换

(3) 实例

■ Haar小波

$$\left\{ \begin{aligned} \psi_H(t) &= \begin{cases} 1 & 0 \leq t < 1/2 \\ -1 & 1/2 \leq t < 1 \\ 0 & \text{其他} \end{cases} \\ \Psi_H(\omega) &= \frac{1 - 2e^{-\frac{i\omega}{2}} + e^{-i\omega}}{\omega i} \end{aligned} \right.$$



Harr小波及其频谱



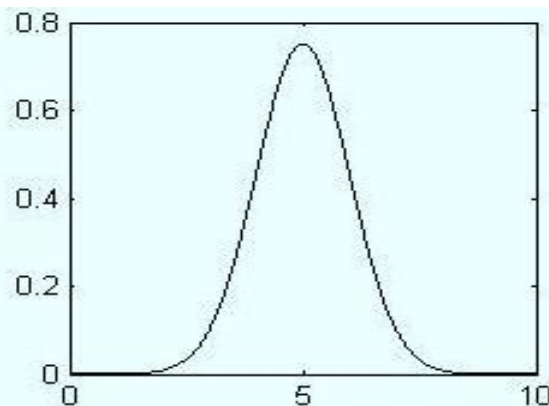
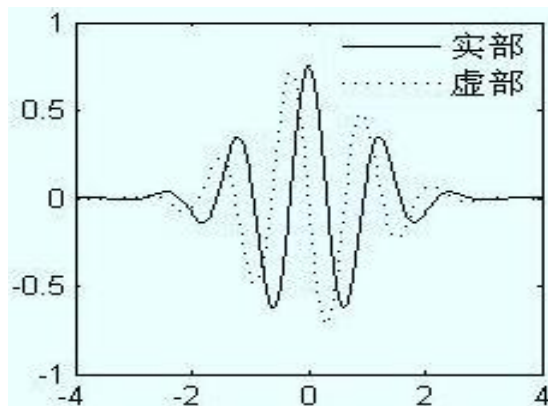
4.5.1小波

小波变换

(3) 实例

■ Morlet小波

$$\begin{cases} \psi(t) = \pi^{-1/4} \left(e^{-i\omega_0 t} - e^{-\omega_0^2/2} \right) e^{-t^2/2} \\ \Psi(\omega) = \pi^{-1/4} \left[e^{-(\omega-\omega_0)^2/2} - e^{-\omega_0^2/2} e^{-\omega^2/2} \right] \end{cases}$$



Morlet小波及其频谱

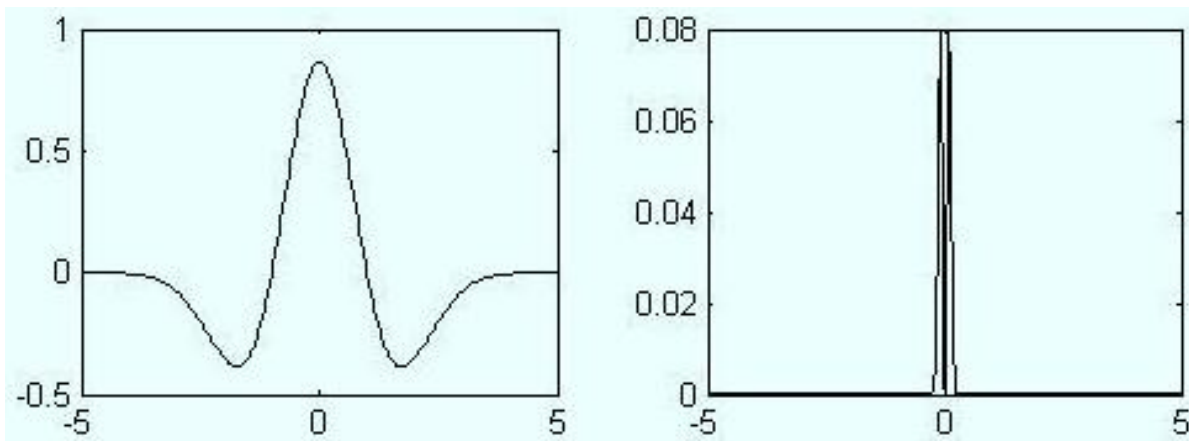
4.5.1小波

小波变换

(3) 实例

■ Mexico草帽小波

$$\psi(t) = \left(\frac{2}{\sqrt{3}} \pi^{-1/4} \right) (1-t^2) e^{-t^2/2}$$



Mexico草帽小波小波及其频谱



4.5.2一维小波变换

小波变换

(1) 连续小波变换

设 $f(t)$ 、 $\psi(t)$ 是平方可积函数，且 $\psi(t)$ 满足允许性条件

称 $W_f(a,b) = \frac{1}{\sqrt{a}} \int_{\mathbb{R}} f(t) \psi^* \left(\frac{t-b}{a} \right) dt$ 为 $f(t)$ 的连续小波变换

$\psi^*(t)$ 是 $\psi(t)$ 的共轭函数



4.5.2一维小波变换

小波变换

(1) 连续小波变换

设 $\psi_a(t) = |a|^{-1/2} \psi\left(\frac{t}{a}\right)$, 令 $\tilde{\psi}_a(t) = \psi_a(-t)$

小波变换定义改写为:

$$\begin{aligned} W_f(a, b) &= |a|^{-1/2} \int_R f(t) \psi^* \left(\frac{t-b}{a} \right) dt = |a|^{-1/2} \int_R f(t) \psi^* \left(-\frac{b-t}{a} \right) dt \\ &= |a|^{-1/2} \int_R f(t) \tilde{\psi}^* \left(\frac{b-t}{a} \right) dt = f(t) * \tilde{\psi}_a(t) \end{aligned}$$

小波变换是原始信号用一组不同尺度的带通滤波器进行滤波, 将信号分解到一系列频带上



4.5.2一维小波变换

小波变换

(2) 时频特性

分析小波 $\psi_{a,b}(t)$ 时、频窗中心和时、频窗半径，可得：

$$\text{时窗中心: } t^* = at_{\psi}^* + b \quad \text{时窗半径: } \Delta t = a\Delta t_{\psi}$$

$$\text{频窗中心: } \omega^* = \frac{1}{a}\omega_{\psi}^* \quad \text{频窗半径: } \Delta\omega = \frac{1}{a}\Delta\omega_{\psi}$$

$t_{\psi}^*, \Delta t_{\psi}, \omega_{\psi}^*, \Delta\omega_{\psi}$ 是基小波 $\psi(t)$ 的时、频窗中心、半径

$$2\Delta t \cdot 2\Delta\omega = 4a\Delta t_{\psi} \cdot \frac{1}{a}\Delta\omega_{\psi} = 4\Delta t_{\psi} \cdot \Delta\omega_{\psi}$$

对于固定的 b ，当 $a > 1$ 时，随着 a 的增大，时窗增宽，频窗变窄；但窗口面积不变。



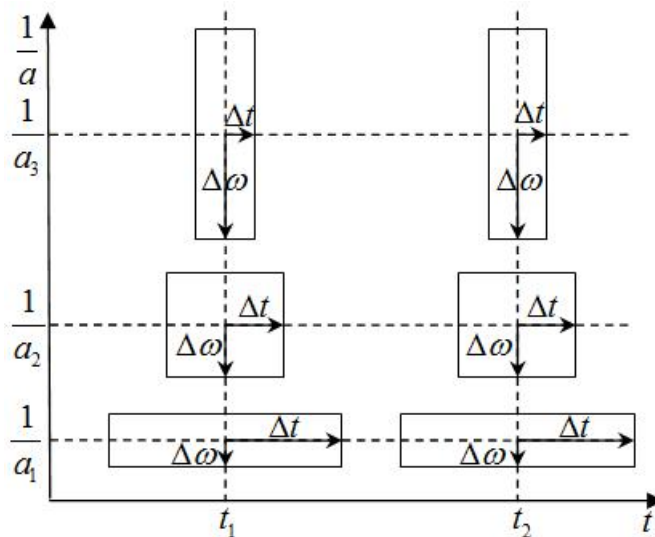
4.5.2一维小波变换

小波变换

(2) 时频特性

小波变换分析信号具有自适应的时频窗口：

- 检测高频分量，尺度参数 $a>0$ 变小，时窗变窄，频窗增高，主频 ω^* 变大；
- 检测低频特性，尺度参数 $a>0$ 增大，时窗变宽，频窗降低，主频 ω^* 变小；



小波变换的时-频平面



4.5.2一维小波变换

小波变换

(3) 离散小波变换

将小波参数 ab 离散化： $\psi_{j,k}(t) = a_0^{-j/2} \psi(a_0^{-j}t - k)$, $j, k \in \mathbb{Z}$

$W_f(j, k) = \int_{\mathbb{R}} f(t) \psi_{j,k}^*(t) dt$ 称为 $f(t)$ 的离散小波变换

离散化参数的选择决定了离散小波变换能否实现



4.5.2一维小波变换

小波变换

(4) 正交小波

设 $\psi(t) \in L^2(R)$ 是一个允许小波，取 $a_0 = 2$

$\psi_{j,k}(t) = 2^{-j/2} \psi(2^{-j}t - k)$, $j, k \in Z$ 构成 $L^2(R)$ 的标准正交基

称 $\psi(t)$ 为正交小波， $\psi_{j,k}(t)$ 是正交小波函数，相应的

离散小波变换 $W_f(j,k) = \langle f(t), \psi_{j,k}(t) \rangle$ 为正交小波变换。

可采用多分辨分析方法构造正交小波基



4.5.3 二维小波变换

小波变换

(1) 定义

设 $f(x, y) \in L^2(R^2)$, $\int_R \int_R \psi(x, y) dx dy = 0$, 称

$$W_f(a, b_1, b_2) = \int_R \int_R f(x, y) \frac{1}{a} \psi^* \left(\frac{x - b_1}{a}, \frac{y - b_2}{a} \right) dx dy$$

为 $f(x, y)$ 的二维连续小波变换, 逆变换为:

$$f(x, y) = \frac{1}{C_\psi} \int_0^{+\infty} \frac{da}{a^3} \iint_{R^2} W_f(a, b_1, b_2) \psi \left(\frac{x - b_1}{a}, \frac{y - b_2}{a} \right) db_1 db_2$$



4.5.3 二维小波变换

小波变换

(2) 图像小波分解

LL^3	HL^3	HL^2	HL^1
LH^3	HH^3		
LH^2		HH^2	
LH^1		HH^1	

L: 低频分量

H: 高频分量

LH: 垂直方向上的高频信息

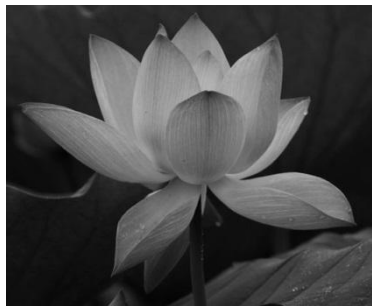
HL: 水平方向上的高频信息

HH: 对角线方向的高频信息

4.5.3 二维小波变换

小波变换

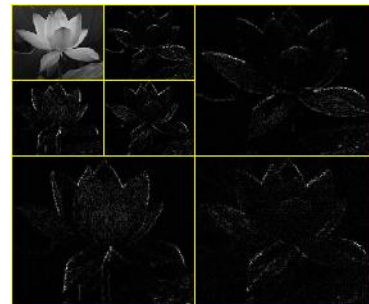
(2) 图像小波分解



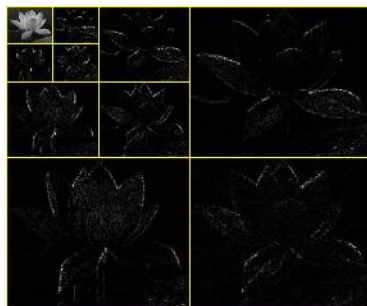
原图



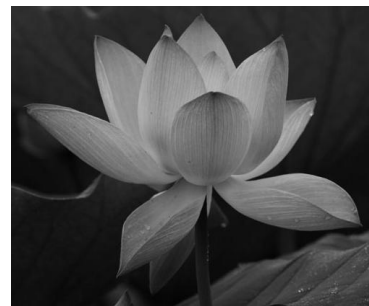
一级小波分解



二级小波分解



三级小波分解



三级分解重构



4.5.3 二维小波变换

小波变换

(3) 例程

■ 函数

- 一级二维离散小波变换
 $[CA, CH, CV, CD] = \text{dwt2}(X, 'wname')$ 或
 $[CA, CH, CV, CD] = \text{dwt2}(X, Lo_D, Hi_D)$
- 一级二维离散小波逆变换
 $X = \text{idwt2}(CA, CH, CV, CD, 'wname')$ 或
 $X = \text{idwt2}(CA, CH, CV, CD, Lo_D, Hi_D)$
- 多级二维小波分解
 $[C, S] = \text{wavedec2}(X, N, 'wname')$ 或
 $[C, S] = \text{wavedec2}(X, N, Lo_D, Hi_D)$



4.5.3 二维小波变换

小波变换

(3) 例程

■ 函数

□ 多级二维小波重构

$X = \text{waverec2}(C, S, 'wname')$ 或

$X = \text{waverec2}(C, S, Lo_R, Hi_R)$

□ 提取二维小波分解的低频系数

$A = \text{appcoef2}(C, S, 'wname', N)$ 或

$A = \text{appcoef2}(C, S, Lo_R, Hi_R, N)$

□ 提取二维小波分解的高频系数

$D = \text{detcoef2}(O, C, S, N)$ 或

$[H, V, D] = \text{detcoef2}('all', C, S, N)$



4.5.3 二维小波变换

小波变换

(3) 例程

■ 一级分解及重构程序

```
Image=imread('cameraman.jpg');  
subplot(1,3,1),imshow(Image),title('原图');  
grayI=rgb2gray(Image);  
[ca1,ch1,cv1,cd1]=dwt2(grayI,'db4');  
DWTI1=[wcodemat(ca1,256),wcodemat(ch1,256);  
        wcodemat(cv1,256),wcodemat(cd1,256)];  
subplot(1,3,2),imshow(DWTI1/256),title('一级分解');  
result=idwt2(ca1,ch1,cv1,cd1,'db4');  
subplot(1,3,3),imshow(result,[]),title('一级重构');
```



4.5.3 二维小波变换

小波变换

(3) 例程

■ 二级分解及重构程序

```
Image=imread('cameraman.jpg');  
grayI=rgb2gray(Image);  
[c,s]=wavedec2(grayI,2,'db4');  
ca2=appcoef2(c,s,'db4',2);  
[ch2,cv2,cd2] = detcoef2('all',c,s,2);  
[ch1,cv1,cd1] = detcoef2('all',c,s,1);  
ca1=[wcodemat(ca2,256),wcodemat(ch2,256);  
      wcodemat(cv2,256),wcodemat(cd2,256)];
```



4.5.3 二维小波变换

小波变换

(3) 例程

■ 二级分解及重构程序

```
k=s(2,1)*2-s(3,1);
```

```
ch1=padarray(ch1,[k k],1,'pre');
```

```
cv1=padarray(cv1,[k k],1,'pre');
```

```
cd1=padarray(cd1,[k k],1,'pre');
```

%填充一级小波高频系数数组，使两级系数维数一致

```
DWTI2=[ca1,wcodemat(ch1,256);
```

```
          wcodemat(cv1,256),wcodemat(cd1,256)];
```

```
subplot(1,2,1),imshow(DWTI2/256),title('二级分解');
```

```
result= waverec2(c,s,'db4');
```

```
subplot(1,2,2),imshow(result,[]),title('二级重构');
```

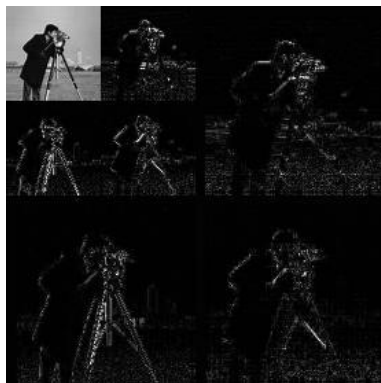
4.5.3 二维小波变换

小波变换

(3) 例程



原图



二级小波分解子带图



二级分解重构图

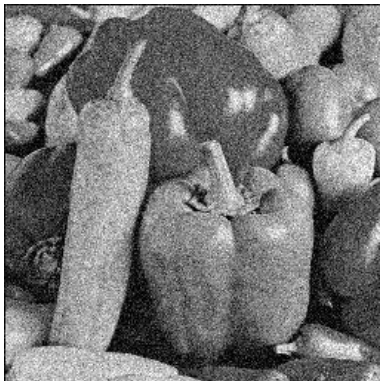


4.5.4小波变换在图像处理中的应用

小波变换

(1) 滤波降噪

高斯噪声图像



硬阈值降噪



wdencomp

函数降噪

软阈值降噪

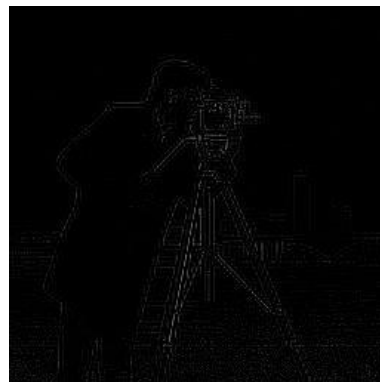
4.5.4小波变换在图像处理中的应用

(2) 边缘检测

利用边缘突变对应高频信息的特性，通过将低频系数置零、保留高频系数，实现了边缘检测



原图



边缘检测



4.5.4小波变换在图像处理中的应用

小波变换

(3) 压缩编码

小波变换后，图像能量集中在少部分的小波系数上，可以通过简单的量化方法，将较小能量的小波系数省去，保留能量较大的小波系数，从而达到压缩的目的



4.5.4小波变换在图像处理中的应用

小波变换

(4) 图像增强

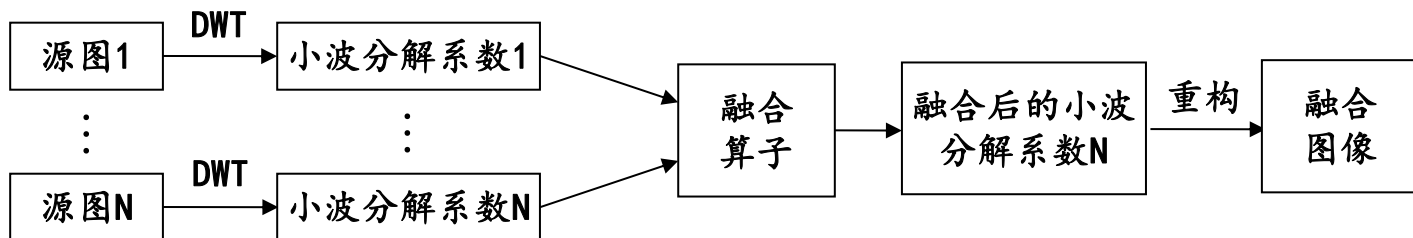
小波变换将图像分解为大小、位置和方向不同的分量，根据需要改变某些分量系数，从而使得感兴趣的分量放大，不需要的分量减小，达到图像增强的目的。

4.5.4小波变换在图像处理中的应用

小波变换

(5) 图像融合

将原图像进行小波分解，在小波域通过一定的融合算子融合小波系数，再重构生成融合后的图像



背景图



前景图



融合图



思考与计算



- 4.1 一幅 4×4 的数字图像 $f = \begin{bmatrix} 1 & 0 & 2 & 0 \\ 3 & 0 & 4 & 0 \\ 5 & 0 & 6 & 0 \\ 7 & 0 & 8 & 0 \end{bmatrix}$ ，利用FFT对其进行二维DFT运算。

- 4.2 对上题中的图像求其DCT变换。

- 4.3 设随机向量 x 的一组样本如下：

$$\left\{ \left(\frac{1}{2} \quad \frac{1}{2} \right)^T, \left(-\frac{1}{2} \quad -\frac{1}{2} \right)^T, (1 \quad 1)^T, (-1 \quad -1)^T \right\}$$

计算其协方差矩阵，并对其进行离散K-L变换。

- 4.4 简述对小波变换的理解。

- 4.5 小波变换中的多分辨分析的含义是什么？



编程实践



- 4.6利用MATLAB编程，打开一幅图像，对其进行DFT变换，并置其不同区域内的系数为零，进行IDFT，观察其输出效果。
- 4.7利用MATLAB编程，打开一幅图像，对其进行DCT变换，并置其不同区域内的系数为零，进行IDCT，观察其输出效果。